

黒色真砂土の粘土組成と粘着性について

愛媛大学工学部	正員	理博○山下親平
京都大学工業教員養成所	正員	理修 西田一彦
愛媛大学工学部	正員	松木三郎

緒言

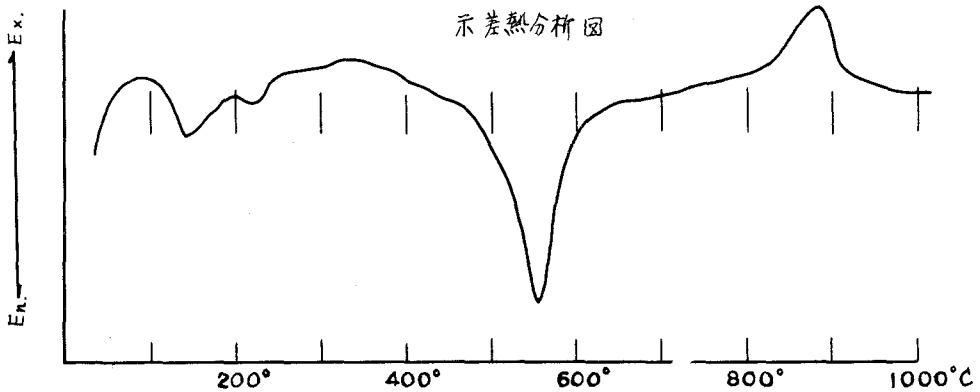
香川県高松市には中生代の黒雲母花崗岩が広く分布している。そこで黒雲母花崗岩より風化した道路脇の黒色真砂土斜面について、その真砂土中に含まれる粘土は如何なる粘土から生成されたものか、またその生成過程について調べ、真砂土中の粘土組成と粘着性を調べてみるのである。

もともと花崗岩の風化作用に伴って粘土鉱物が出来るといふことは、花崗岩中の造岩鉱物である、斜長石、正長石、白雲母、黒雲母、石英の化学的作用による変質作用である。この斜長石、白雲母、黒雲母の結晶格子構造をしていて、Si, Al, K, Na, Fe, Ca, Mg, OH の結晶格子を解き、格子から離脱した土粒子の内部から外側にイオンとして移動し、他の原子が付着して、新しい結晶構造を持つた新鉱物が生成されるにある。

著者はこの黒色真砂土につき、示差熱分析、X線分析、化学分析、先行した土粒子中の粘土鉱物を同定する。また一面センサ実験を行う土粒子群の粘着強さ、および内部マツ角φも測定して、粘土鉱物の組成と土粒子群のc, φ, の関係を調べてみるにある。

1. 示差熱分析

斜面の上部より下部に A<sub>1</sub>, A<sub>2</sub> … A<sub>6</sub> と取り、それを水蒸し、2μ 以下の土粒子について実験を行なった結果は次の通りである。



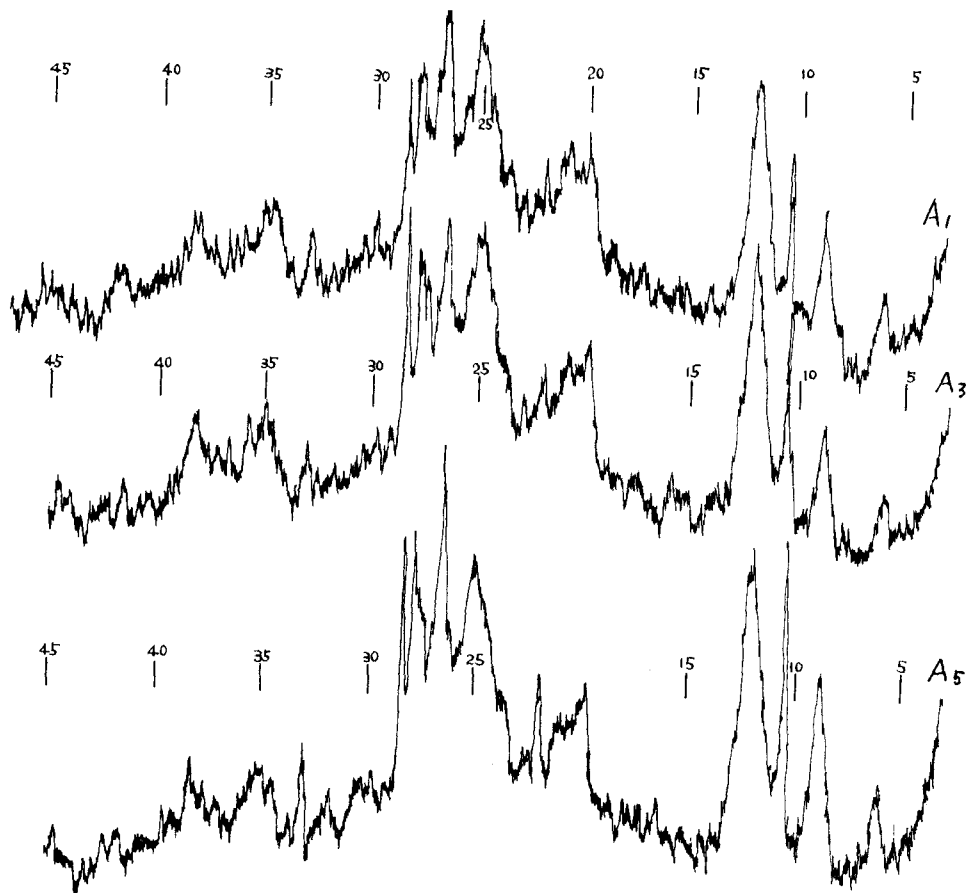
これによると 150°C 附近の吸熱反応は吸着水とパーミユキタイトの反応と考えられる。また 240°C 附近の吸熱反応はギブサイト反応と考えられる。また 550°C 附近の吸熱はセリサイトの反応と考えら

此、また  $900^{\circ}\text{C}$  附近の発熱反応はカオリナイトの反応と考えられる。これによるとセリサイトは  $A_2$  が最も多く、 $A_4$  はこれに次ぎ  $A_3, A_1$  の順序になつてゐる。カオリナイトは  $A_3$  に最も多く、 $A_2, A_4, A_1$  の順に少なくなつてゐる。バーミュキライトは  $A_1, A_3$  に多く  $A_2, A_4$  の順に少なくなつてゐる。ギブサイトは  $A_4$  において認められ、 $A_3$  にも存在の可能性がある。

## 2. X線分析

前者と同様  $A_1 \dots A_5$  の試料の  $1/4$  以下の試料につき X線分析を行つた結果は図の通りである (図は  $A_2$   $A_4$  を省略)  $\lambda = 2d \sin \theta$  において  $d = 14.71$  はバーミュキライト および一部のクローライトが認められ、 $d = 8.417$  においてサポナイトが認められる。また  $d = 4.15$  においてカオリナイト、 $d = 3.32$  においてセリサイト  $d = 3.69$  にイライト、 $d = 3.17$  にギブサイトが認められる。すなわち  $A_1$  では バーミュキライト、カオリナイト、セリサイト、サポナイト を検出し、 $A_2$  ではバーミュキライト、カオリナイト、セリサイト、イライト、クローライト、サポナイト を検出する。また  $A_3$  では バーミュキライト、カオリナイト、セリサイト、クローライト、サポナイト を検出し、 $A_4$  ではセリサイト、カオリナイト、イライト、クローライト を検出する。

## X線廻折図



### 3. 化学分析

斜面の上部から下部へ A<sub>1</sub>…A<sub>5</sub> まで完全分析を行ひ、SiO<sub>2</sub>, Al<sub>2</sub>O<sub>3</sub>, Fe<sub>2</sub>O<sub>3</sub>+FeO, TiO<sub>2</sub>, CaO, MgO, SO<sub>2</sub>, Na<sub>2</sub>O, K<sub>2</sub>O, H<sub>2</sub>O<sup>+</sup>, H<sub>2</sub>O<sup>-</sup> の重量百分率を出した。そこで Al<sub>2</sub>O<sub>3</sub>, CaO, Fe<sub>2</sub>O<sub>3</sub>+FeO をみると、A<sub>1</sub> は Al<sub>2</sub>O<sub>3</sub> = 20.57%, CaO = 8.07%, Fe<sub>2</sub>O<sub>3</sub>+FeO = 2.58% で バーミユナイトの成分に近い。また A<sub>4</sub> は Al<sub>2</sub>O<sub>3</sub> = 33.32%, CaO = 4.19%, Fe<sub>2</sub>O<sub>3</sub>+FeO = 3.64% で バーミユナイトの成分に遠ざかっている。また Al<sub>2</sub>O<sub>3</sub>, K<sub>2</sub>O, Fe<sub>2</sub>O<sub>3</sub>+FeO につきると A<sub>2</sub> は Al<sub>2</sub>O<sub>3</sub> = 20.89% Ca = 11.15%, Fe<sub>2</sub>O<sub>3</sub>+FeO = 7.37% で セリサイトの成分に最も近く、A<sub>4</sub> は Al<sub>2</sub>O<sub>3</sub> = 33.32% Ca = 4.19%, Fe<sub>2</sub>O<sub>3</sub>+FeO = 3.64% で セリサイトの成分に遠ざかっている。

### 4. 一面せん断試験

試料 A<sub>1</sub>…A<sub>5</sub> は一たん乾燥し、0.01mm 以下の土粒子にし、H<sub>2</sub>O を加え、自然含水比の状態に区別した攪拌試料である。これを一面せん断試験機にかけた結果は表の通りである。これによると粘着

	A <sub>1</sub>	A <sub>2</sub>	A <sub>3</sub>	A <sub>4</sub>
C kg/cm <sup>2</sup>	0.270	0.033	0.0118	0.115
φ degree	44°00'	41°00'	44°00'	48°08'

強さ C は A<sub>1</sub> が最大であり、A<sub>2</sub> が最小である。また内部摩擦角は A<sub>4</sub> が最大であり、A<sub>2</sub> が最小である。つまり C が增大すれば φ が増大している。

### 5. 結果の考察

斜面の上部 A<sub>1</sub> では バーミユナイト、セリサイト、が多くなっており、粘着強さおよび内部摩擦角は増大している。また斜面の中央部 A<sub>2</sub> においては カオリナイト が多くなっており、粘着強さおよび内部摩擦角が小さくなっている。これらのバーミユナイト、カオリナイト、セリサイト、クローライトを三成分系で考えると、Al<sub>2</sub>O<sub>3</sub>-CaO-Fe<sub>2</sub>O<sub>3</sub>+FeO において斜面の上部から下部に行くに従い

Al<sub>2</sub>O<sub>3</sub> は減少→

増加→増加となり、

Fe<sub>2</sub>O<sub>3</sub>+FeO は増加

→減少→減少

となり、バーミユ

ナイトの成分から遠

ざかるとして、

即ち、斜面の上部と

中部において

バーミユ

ナイト化作用

が行われ、これを示

している。

また Al<sub>2</sub>O<sub>3</sub>-K<sub>2</sub>O-

Fe<sub>2</sub>O<sub>3</sub>+Fe

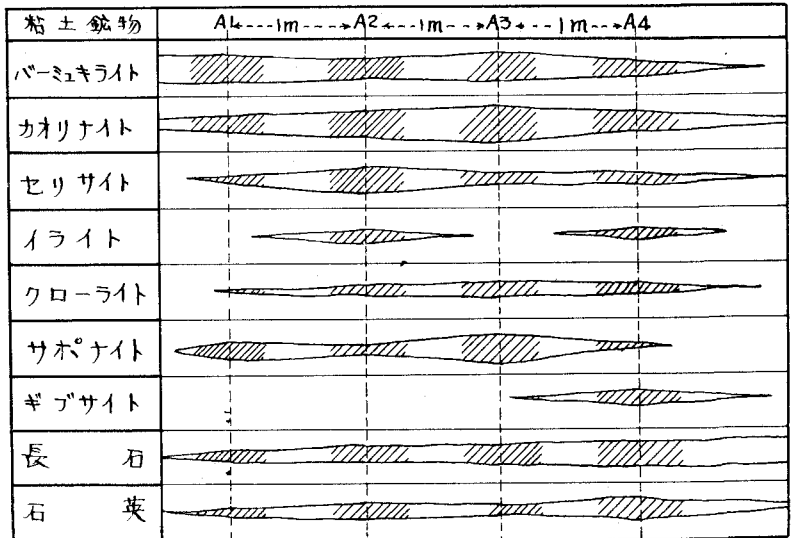
において

Al<sub>2</sub>O<sub>3</sub> は減少→

やや増加→増加

斜面の粘土鉱物分布図

上部 ← 斜面 → 下部



と変化している。粘土セリサイトは斜面の中央部において行われたと考えられる。またクローライトは斜面の  $Al_2O_3$  は  $Fe_2O_3$  が増加し、 $Al_2O_3$  が減少していることから斜面の中央部においておこなわれたクローライト化作用が行われたことを意味している。

これらの作用は  $Al_2O_3 - H_2O$ ,  $SiO_2 - Al_2O_3 - H_2O$ ,  $SiO_2 - Al_2O_3 - MgO - H_2O$  系 および  $(Ca, Mg)O - (K, Na)_2O - Al_2O_3 - SiO_2 - H_2O$  系の変成系の産物によるものであり、Rolle & Jels は  $biotite \rightarrow biotite\ hydrate \rightarrow vermiculite \rightarrow chlorite$  の

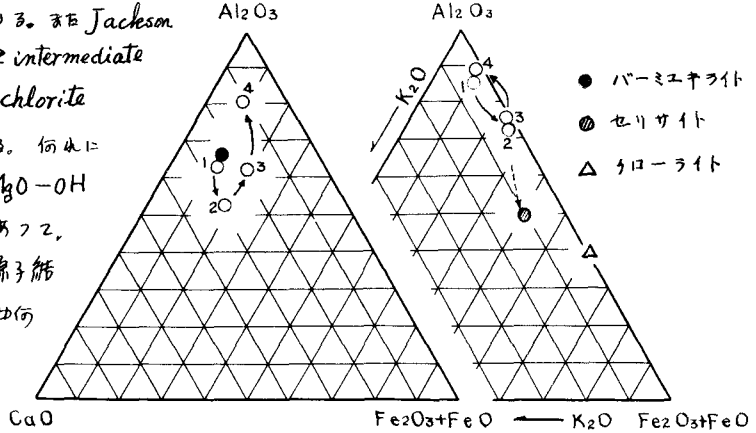
Al-Ca-Fe 系

Al-Ca-Fe 系

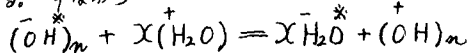
生成過程を経るとしている。また Jackson は  $biotite \rightarrow illite \rightleftharpoons intermediate \rightleftharpoons vermiculite \rightleftharpoons chlorite$

の過程を経るとしている。何れにしても  $Al_2O_3 - Fe_2O_3 - MgO - OH$  系の OH が向量質であり、この OH が土粒子内部の原子結晶格子構造の格子の存在如何にかかると考えられる。

すなわち Brindly によれば「カオリナイト



の場合 OH が (001) 面に平行の方向では、格子六角形の内部に有隙の状態に存在し、また (100) 面に平行の方向では半格子の構造を持つとされている。故にこの OH は有隙の構造を持つと考えるが、土粒子群を流れる粒間水の作用により、OH イオンとして土粒子の内部から外側に移動する。



の変成式により、土粒子相互間の水分が増加し、土粒子群の粘着強さ  $C$  が小さくなるのである。このセリサイト、バーミユキライト、カオリナイトの格子構造の OH を見るとセリサイトおよびバーミユキライトは  $OH_2$  であり、カオリナイトは  $OH_4$  であることから Brindly の原子格子構造論を代入すると、カオリナイト化帯よりもバーミユキライト、セリサイト化帯の方が粘着強さ  $C$  が大きくなるのである。したがってセリサイト  $\rightarrow$  バーミユキライト  $\rightarrow$  カオリナイトの順に粘着性は小さくなると考えられる。